

# Robot Calibration

## ◦ Calibration 의 목적

Improves robot accuracy through software rather than changing the mechanical structure or design of Robot

## ◦ Calibration Procedure

modeling, measurement, identification, correction

## ◦ 3 levels of Robot Calibration

### ① level 1 Calibration : Joint level Calibration

- determines the correct relationship between joint displacement transducer signals and the actual joint displacement

- $\theta_i = h_i(\eta_i, r_i)$

$\theta_i$  : actual joint displacement

$\eta_i$  : signal from the transducer

$r_i$  : parameters in the fn.  $h_i(\ )$ .

- 대부분의 경우,  $h(\cdot)$ 는 linear로 model 됨

$$\theta_i = K_{i1} \eta_i + K_{i2}$$

- Gear backlash + Joint Clearance 와 같은 Nonlinear effects 는  $\begin{cases} \text{nonkinematic model로 level 3에서 model.} \\ \text{kinematic model 이지만 (각도에 따라 적는)} \end{cases}$

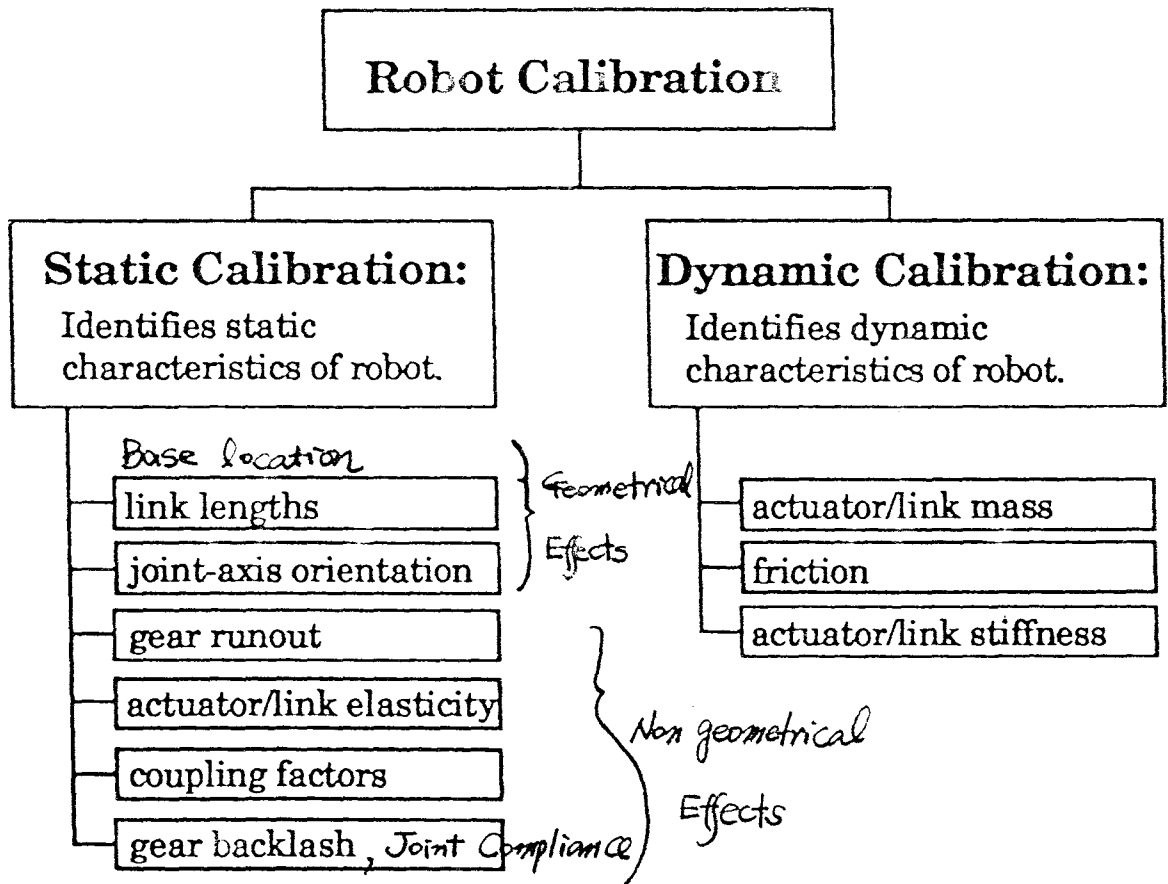
## ② level 2 Calibration : Entire Robot Kinematic Model Calibration

- determines the basic kinematic geometry of the robot as well as the correct joint angle relationships
- $\underline{x} = f(\eta, r, a)$   
 $\eta$ : joint transducer readings  
 $r$ : coefficients of Joint level Calibration model  
 $a$ : coefficients in the kinematic model

## ③ level 3 Calibration : nonkinematic (nongeometric) Calibration

- Nonkinematic Error 요소 보정  
 Joint Compliance, Friction, Clearance and Link Compliance
- Dynamic Model Parameters
- $\underline{x} = l(\eta, r, a, \dot{x}, \ddot{x}, u, \beta)$   
 $u$ : coefficients in the dynamic model  
 $\beta$ : coefficients in Nonkinematic error factor model

- 앞의 3 levels of Calibration을 Static Calibration과 Dynamic Calibration으로 분류하는 것이 일반적임.



- 일반적으로 Static Calibration을 Kinematic Calibration이라고도 함
- Kinematic Calibration은 Robot의 Kinematic model의 정확성을 이루어 Robot Accuracy 향상.

Ex) Puma 제작 후 Accuracies : about 1cm

Calibration 후 Accuracies : about 0.2 ~ 0.3 mm

- 본 연구의 주요 관심은 level 2 Calibration 즉 Kinematic Calibration 중 Geometrical Effect만을 고려함.

# ◦ Kinematic Calibration of Manipulator

- Assumed to be rigid link
- Assumed to be perfect joint (No joint clearance)
- Denavit - Hartenberg Kinematic model

$$X = f(\theta, \alpha, a, d) - \textcircled{1} \quad \theta \rightarrow d \rightarrow a \rightarrow \alpha \text{ (Paul)}$$

$$\alpha \rightarrow a \rightarrow \theta \rightarrow d \text{ (Craig)}$$

1)  $X$ 를 알고  $\theta$ 를 구하는 것 ( $\alpha, a, d$ 는 given) : Inverse kinematics

2) Inverse kinematics 자체도 highly Nonlinear 이므로  
해를 구하는데 어려움이 많다.

- ①식을 현재의 nominal values 에 대하여 linearization

$$\Delta X = \frac{\partial f}{\partial \theta} \Delta \theta + \frac{\partial f}{\partial d} \Delta d + \frac{\partial f}{\partial a} \Delta a + \frac{\partial f}{\partial \alpha} \Delta \alpha$$

$$= \begin{bmatrix} \frac{\partial f}{\partial \theta} & \frac{\partial f}{\partial d} & \frac{\partial f}{\partial a} & \frac{\partial f}{\partial \alpha} \end{bmatrix} \begin{bmatrix} \Delta \theta \\ \Delta d \\ \Delta a \\ \Delta \alpha \end{bmatrix}$$

$$= \begin{bmatrix} J_\theta & J_d & J_a & J_\alpha \end{bmatrix} \begin{bmatrix} \Delta \theta \\ \Delta d \\ \Delta a \\ \Delta \alpha \end{bmatrix}$$

현재의 nominal values 에 의하여  $X$  값을 구하면  $X_{\text{computed}}$   
측정된  $X$  값은  $X_{\text{measured}}$  이고  $J_\theta, J_d, J_a, J_\alpha$  를 구한다.

$$\therefore \Delta X = X_m - X_c = \underbrace{\begin{bmatrix} J_\theta & J_d & J_a & J_\alpha \end{bmatrix}}_C \underbrace{\begin{bmatrix} \Delta \theta \\ \Delta d \\ \Delta a \\ \Delta \alpha \end{bmatrix}}_{\Delta \phi}$$

- 일반적으로 manipulator의 link parameter는 24개 이므로 최소한 4개 이상의 측정점 필요. 5개의 측정점에서 Position과 Orientation 모두 측정되었다면

$$\Delta X_{3 \times 1} = C_{3 \times 24} \Delta \phi_{24 \times 1}$$

위 Eq.을 만족하는  $\Delta \phi$ 를 구하기 위하여  $e \triangleq \Delta X - C \Delta \phi$

$$\min \frac{1}{2} e^T e \triangleq L$$

$$L(\Delta \phi) = \frac{1}{2} (\Delta X - C \Delta \phi)^T (\Delta X - C \Delta \phi)$$

$$\frac{\partial L}{\partial \Delta \phi} = -(\Delta X - C \Delta \phi)^T C = 0$$

$$= \Delta \phi^T C^T C - \Delta X^T C = 0$$

$$C^T C \Delta \phi = C^T \Delta X$$

$$\therefore \Delta \phi = \underline{\underline{(C^T C)^{-1} C^T \Delta X}}$$

Error least square soln.

# • Iterative least square algorithm

i)  $\Delta X_i = C_i \Delta \phi_i$

현재의  $\theta_i, d_i, a_i$  에 의해서  $X_{com}, C_i$  계산

ii)  $\Delta \phi_i = (C_i^T C_i)^{-1} C_i^T \Delta X_i \leftarrow$  least square soln.

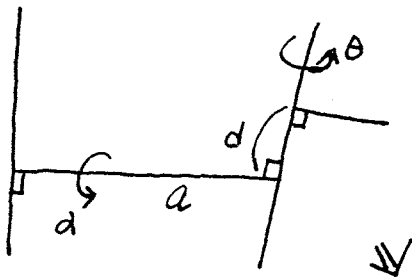
iii)  $\phi_{i+1} = \phi_i + \Delta \phi_i$

iv) back to i)

## • 제시한 알고리즘의 문제점

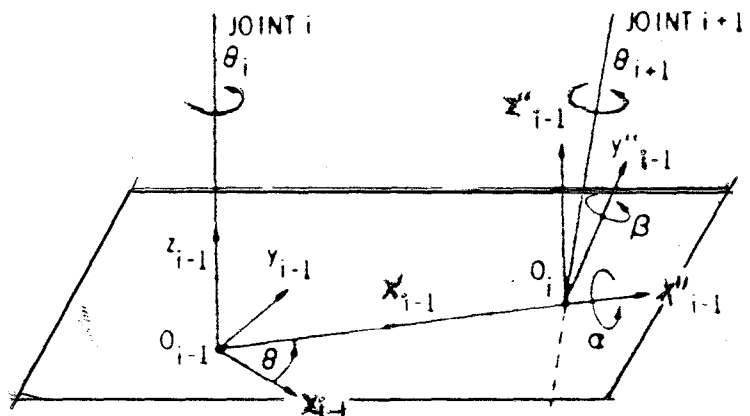
① Neighboring joint axes are nearly parallel 한 경우  
(Hayati ; Mooring)

• Common normal is extremely sensitive to slight variations in axis rotation and its location will vary wildly



d 의 작은 변화에 d 값의  
변화가 심함

• Modified D-H  
parameters :



② Iteration step ii) 에서  $(C^T C)^{-1}$  의한 Singularity Prob.

- Initial guess 값이 많이 틀리면 중간 계산 과정에서 Singularity 발생 : Transient Singularity

- Levenberg - Marquardt Algorithm or Singularity Robust Algorithm 사용.

$$\min \frac{1}{2} e^T e + \frac{1}{2} \lambda \Delta \phi^T \Delta \phi$$

$$L(\Delta \phi, \lambda) = \frac{1}{2} (\Delta X - C \Delta \phi)^T (\Delta X - C \Delta \phi) + \frac{\lambda}{2} \Delta \phi^T \Delta \phi$$

$$\frac{\partial L}{\partial \Delta \phi} = -(\Delta X - C \Delta \phi)^T C + \lambda \Delta \phi^T = 0$$

$$= \Delta \phi^T C^T C + \lambda \Delta \phi^T - \Delta X^T C = 0$$

$$(e^T C + \lambda I) \Delta \phi = C^T \Delta X$$

$$\therefore \underline{\underline{\Delta \phi = (C^T C + \lambda I)^{-1} C^T \Delta X}}$$

Singularity Robust Inverse

$\lambda$  : scale factor between the exactness  
and the feasibility of the soln.

- 일반적으로 초기 step에서 좋은 수렴 특성을 보이나  
최종 step에서 slow convergence 를 보임.

◦ A Method for automatically choosing the scale factor  $\lambda$

- Singularity 부분에서는  $\lambda$ 가 큰값을 가져야 하지만  
Singularity에서 떨어진 부분에서는  $\lambda = 0$ 로 하는  
switching technique 고안.

• Nakamura의 방법

$$\lambda = \begin{cases} \lambda_0 (1 - \frac{\omega}{\omega_0}) & \text{if } \omega < \omega_0 \\ 0 & \text{otherwise} \end{cases}$$

$\omega = \sqrt{\det(CCTC)}$  : manipulability measure

$\omega_0$  : singular region boundary

$\lambda$  : singular point에서  $\lambda$ 의 적절한 값

• Kelma & Khosla의 방법

i)  $\omega$  is dependent on manipulator size

ii)  $a_j$  나  $D_j$  중 가장 큰값으로 나뉘는 DH parameter를  
나누면  $\omega$  값은 0과 1 사이가 된다.

$$0 < \omega < 1$$

$$\lambda = \begin{cases} \lambda_0 (1 - \frac{\omega_{KH}}{\omega_K}) & \text{if } \frac{\omega_{KH}}{\omega_K} < \mu \\ 0 & \end{cases}$$

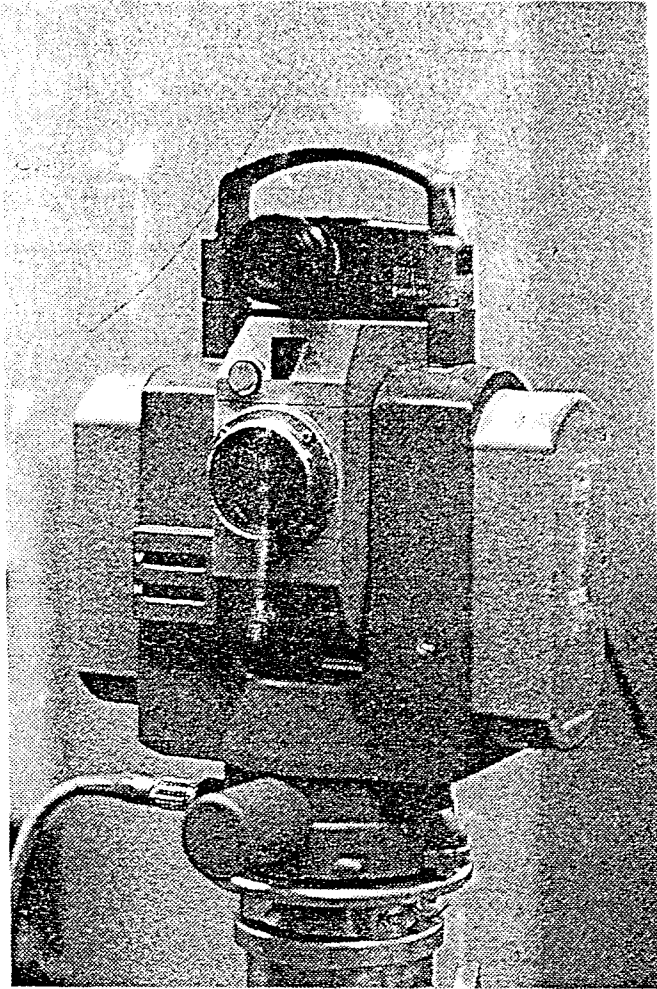
실험에 의하면  $\mu$  값은  $\frac{1}{\sqrt{10}}$  이 좋다.



## ◎ Measurement of the end-point location

- 일반적으로 3차원 측정은 어렵고, 고가의 장비 요구
- Coordinate Measuring Machine [ Driel , zhong ]

## ◎ Theodolites [ whitney , Lozinski and Rourke ]

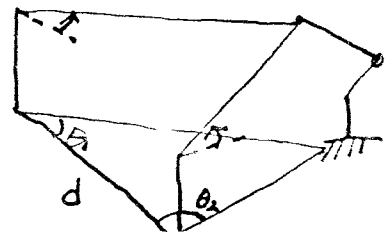


CCD Vision

with telescope 형태로  
주로 point detection  
with high precision

- Extremely good results but need the extensive  
(0.1mm)  
human involvement (taking 5 days)

- Principle of triangulation



- Special fixture [Tang] - using 'free mode' of robot
- laser interferometers [Prenninger]

## ◎ Identifiability

- 몇 개의 점을 측정하여야 하는가?
- 측정 pose는 얼마나 다양하여야 하는가?
- (중요 결과)

Complete Parameter Identification을 위해서  
partial Pose Information 만으로도 충분하다.

[Goswami; Driuel; Veitschegger]

- ~~Autonomous~~ Autonomous Calibration의 가능성 제시  
special fixture 사용 가능

## ◎ Autonomous Calibration with special devices

- 3 dimensional motion tracking system [Hollerbach, Bennett]
- laser range finders [Lau, Hooker, Haynes]

위에서 언급한

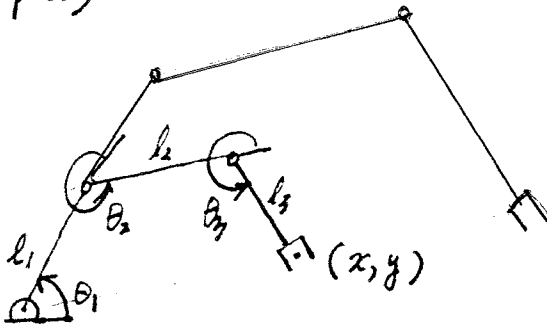
## ◎ Kinematic Calibration의 결과는 보통 0.2 ~ 0.3 mm

0.01 mm ~ 0.02 mm의 결과를 얻으려면 link flexibility ↑  
Thermal effect 고려

## ◎ Autonomous Calibration

- On-site Calibration 이 필요 : Industry
- External Sensor를 사용하지 않고 Internal Sensor 만을 사용 : use of only joint readings
- ~~Hand~~ Autonomous Hand/Eye Calibration :  
use of only joint readings and Camera measurements

Easy Example)



$$l_1 \cos \theta_1 + l_2 \cos \theta_2 + l_3 \cos \theta_{123} = x$$

$$\theta_{12} = \theta_1 + \theta_2$$

$$l_1 \sin \theta_1 + l_2 \sin \theta_2 + l_3 \sin \theta_{123} = y$$

고려된  $x, y$  에 대하여 manipulator를 움직여  $l_1, l_2, l_3$ 를 구하고자 한다. 이 경우,  $l_1, l_2, l_3$ 의 any scale도 위 Eq.을

만족하기 때문에 이중 하나는 fix하면 (ex.  $l_1=1$ ), 3변 추측

$$\begin{bmatrix} \cos \theta'_{12} & \cos \theta'_{123} & -1 & 0 \\ \sin \theta'_{12} & \sin \theta'_{123} & 0 & -1 \\ \cos \theta^2_{12} & \cos \theta^2_{123} & -1 & 0 \\ \sin \theta^2_{12} & \sin \theta^2_{123} & 0 & -1 \\ \cos \theta^3_{12} & \cos \theta^3_{123} & -1 & 0 \\ \sin \theta^3_{12} & \sin \theta^3_{123} & 0 & -1 \end{bmatrix} \begin{bmatrix} l_2 \\ l_3 \\ x \\ y \end{bmatrix} = \begin{bmatrix} -\cos \theta'_1 \\ -\sin \theta'_1 \\ -\cos \theta^2_1 \\ -\sin \theta^2_1 \\ -\cos \theta^3_1 \\ -\sin \theta^3_1 \end{bmatrix}$$

$C\phi = r$  의 형태

$\phi = (C^T C)^{-1} C^T r$  로서  $l_1$ 에 대한  $l_2, l_3, x, y$ 를 구할 수 있다.

- 이 경우 평면 문제 이므로 Nonlinear Eq.은 직접 사도 3차원에서는 불가능

- ① 현대 Robot에서 사용하고 있는 <sup>자동</sup> Tool 제수 보정 방법의 추정
- : Fixed Point에 근거한 Calibration Algorithm

① Work Space 한점에 대하여 32회 teaching  
그 결과  $\theta_1 \sim \theta_{32}$ 까지의 Joint Reading Set을 얻음.

- ② 현재의 nominal value에 의하여 End-Effector Position 구함 ( $r_1 \sim r_{32}$ )

$r_1 \dots$   
•  $r^*$  (real position)  
 $r_2 \dots r_{32}$   
 $r_3$

- ③  $r_1 - r^* = \Delta r_1 = [J_{\phi_1}] \Delta \phi = [J_{\theta_1} : J_a : J_a : J_d] \begin{bmatrix} \Delta \theta_{offset} \\ \Delta a \\ \Delta a \\ \Delta d \end{bmatrix}$
- $\phi = \begin{bmatrix} \theta \\ a \\ a \\ d \end{bmatrix}$   $\theta = \theta_R + \theta_{offset}$  이라고 가정  
 $\rightarrow$  constant nongeometric effect

④ ③과 같은 방법으로

$$r_2 - r^* = [J_{\phi_2}] \Delta \phi$$

$$r_3 - r^* = [J_{\phi_3}] \Delta \phi$$

$\vdots$

$$r_{32} - r^* = [J_{\phi_{32}}] \Delta \phi$$

$$⑤ (r_1 - r^*) - (r_2 - r^*) = [J_{\phi_1}] \Delta \phi - [J_{\phi_2}] \Delta \phi$$

$$r_1 - r_2 = [J_{\phi_1} - J_{\phi_2}] \Delta \phi$$

같은 방법으로,

$$r_1 - r_3 = [J_{\phi_1} - J_{\phi_3}] \Delta \phi$$

$\vdots$

$$r_1 - r_{32} = [J_{\phi_1} - J_{\phi_{32}}] \Delta \phi$$

종합하면,

$$\begin{bmatrix} r_1 - r_2 \\ r_1 - r_3 \\ \vdots \\ r_1 - r_{32} \end{bmatrix} = \begin{bmatrix} J_{\phi_1} - J_{\phi_2} \\ J_{\phi_1} - J_{\phi_3} \\ \vdots \\ J_{\phi_1} - J_{\phi_{32}} \end{bmatrix} \Delta \phi$$

$$\Delta X = C \Delta \phi \rightarrow \Delta \phi = (C^T C)^{-1} C^T \Delta X$$

Iterative least square Algorithm 적용

# A New Method for Autonomous Robot Calibration

Zhong and Lewis

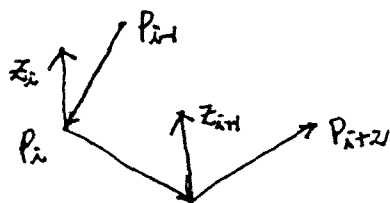
- Partial Pose information is sufficient for complete parameter identification
- Tang: a special fixture to obtain partial pose information of a robot end-effector : point and orientation angle measure using ~~not~~ the 'free mode' of robot

그러나 모든 robot은 free mode를 제공하지 않는다.

- on-site calibration in an industrial environment

## 2. Formulation of the Kinematic Identification Model

$$P_i = P_i^0 + J_i \Delta \rho = [x_i^0 \ y_i^0 \ z_i^0]^T + [J_i^x \ J_i^y \ J_i^z]^T \Delta \rho \quad (1)$$



coplanar points

$$\Delta P_i = P_i - P_{i-1} = [\Delta x_i^0 \ \Delta y_i^0 \ \Delta z_i^0]^T + [\Delta J_i^x \ \Delta J_i^y \ \Delta J_i^z]^T \Delta \rho$$

$$\Delta x_i^0 = x_i^0 - x_{i-1}^0 ; \quad \Delta y_i^0 = y_i^0 - y_{i-1}^0 ; \quad \Delta z_i^0 = z_i^0 - z_{i-1}^0$$

$$\Delta J_i^x = J_i^x - J_{i-1}^x ; \quad \Delta J_i^y = J_i^y - J_{i-1}^y ; \quad \Delta J_i^z = J_i^z - J_{i-1}^z$$

$$Z_i = \Delta P_{i+1} \times \Delta P_i = [a0_i \ b0_i \ c0_i]^T + [a1_i \ b1_i \ c1_i]^T \Delta \rho \quad (3)$$

where

$$a0_i = \Delta y_i^0 \Delta z_{i+1}^0 - \Delta y_{i+1}^0 \Delta z_i^0;$$

$$b0_i = \Delta z_i^0 \Delta x_{i+1}^0 - \Delta z_{i+1}^0 \Delta x_i^0;$$

$$c0_i = \Delta x_i^0 \Delta y_{i+1}^0 - \Delta x_{i+1}^0 \Delta y_i^0;$$

$$a1_i = (\Delta y_i^0 \Delta J_{i+1}^z + \Delta z_{i+1}^0 \Delta J_i^y) - (\Delta y_{i+1}^0 \Delta J_i^z + \Delta z_i^0 \Delta J_{i+1}^y);$$

$$b1_i = (\Delta z_i^0 \Delta J_{i+1}^x + \Delta x_{i+1}^0 \Delta J_i^z) - (\Delta z_{i+1}^0 \Delta J_i^x + \Delta x_i^0 \Delta J_{i+1}^z);$$

$$c1_i = (\Delta x_i^0 \Delta J_{i+1}^y + \Delta y_{i+1}^0 \Delta J_i^x) - (\Delta x_{i+1}^0 \Delta J_i^y + \Delta y_i^0 \Delta J_{i+1}^x).$$

참고

$$\begin{cases} (a + A\rho) \times (b + A'\rho) \\ = a \times b + a \times A'\rho + A\rho \times b + A\rho \times A'\rho \end{cases}$$

$$Z_{i+1} = [a0_{i+1} \ b0_{i+1} \ c0_{i+1}]^T + [a1_{i+1} \ b1_{i+1} \ c1_{i+1}]^T \Delta \rho. \quad (4)$$

$$\begin{aligned} Z_{i+1} \times Z_i &= [A0_i \ B0_i \ C0_i]^T + [A1_i \ B1_i \ C1_i]^T \Delta \rho \\ &= 0 \end{aligned} \quad (5)$$

where

$$A0_i = b0_i c0_{i+1} - b0_{i+1} c0_i;$$

$$B0_i = c0_i a0_{i+1} - c0_{i+1} a0_i;$$

$$C0_i = a0_i b0_{i+1} - a0_{i+1} b0_i;$$

$$A1_i = (b0_i c1_{i+1} + c0_{i+1} b1_i) - (b0_{i+1} c1_i + c0_i b1_{i+1});$$

$$B1_i = (c0_i^0 a1_{i+1} + a0_{i+1} c1_i) - (c0_{i+1} a1_i + a0_i c1_{i+1});$$

$$C1_i = (a0_i b1_{i+1} + b0_{i+1} a1_i) - (a0_{i+1} b1_i + b0_i a1_{i+1}).$$

Denoting  $H = [A1_1 \ B1_1 \ C1_1 \ \dots \ A1_m \ B1_m \ C1_m]^T$ ; and  
 $\Delta X = [A0_1 \ B0_1 \ C0_1 \ \dots \ A0_m \ B0_m \ C0_m]^T$ ,

We have a linear system:

$$H \Delta \rho + \Delta X = 0 \quad (6)$$

• Robot 의 Base x-y plane 과 Constraint plane 을

일치시키면

$$P_i = P_i^0 + J_i \Delta \rho = [x_i^0 \ y_i^0 \ z_i^0]^T + [J_i^x \ J_i^y \ J_i^z] \Delta \rho$$

여기서,  $z_i^0 + J_i^z \Delta \rho = 0$  간단한 Eq. 도출

게다가,  $z_i = \Delta P_{i+1} \times \Delta P_i$  의 x, y Component 0

- *Constraint plane* 에 대한 정확한 정보가 있다면

$$H\Delta\phi + \Delta X = 0 \quad \text{을 사용}$$

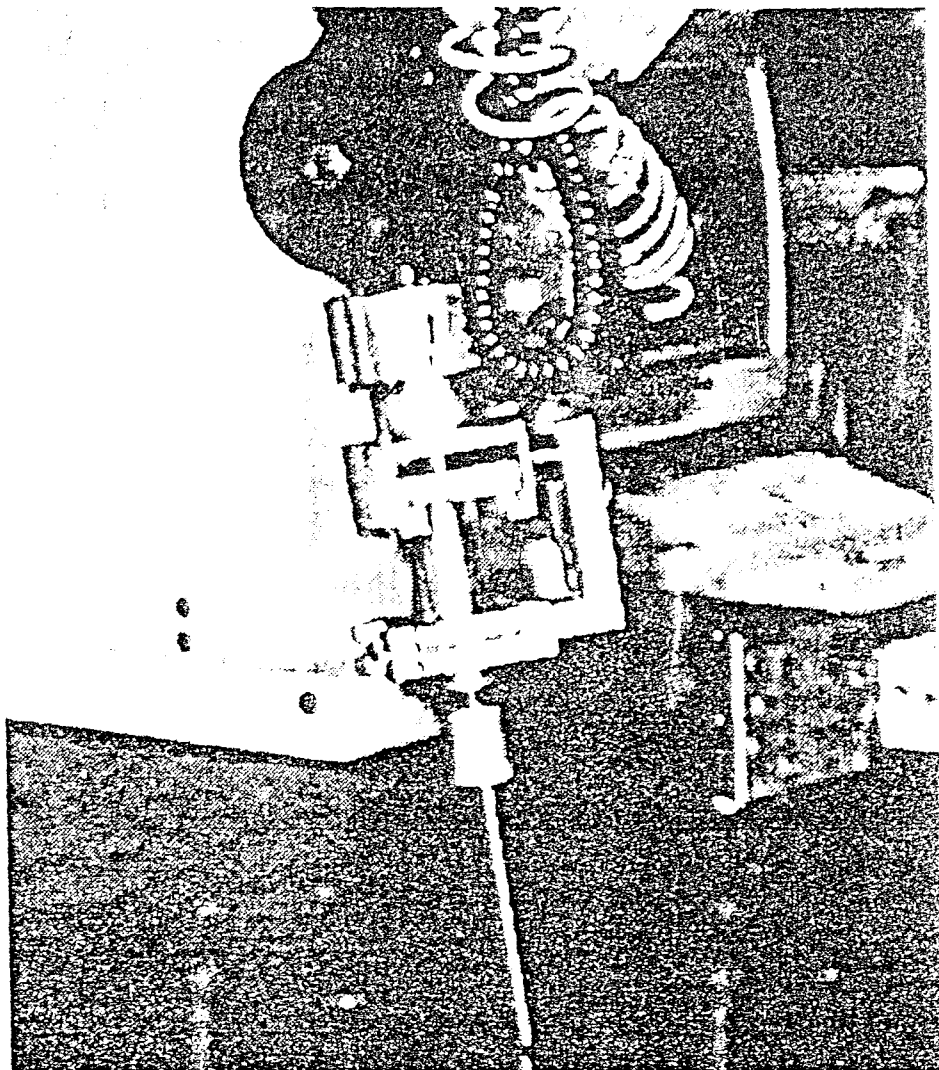


Figure 2. Robot touch constraint plane using a *Probe*



# Identifying the Kinematics of Robots and their tasks

①

D.J. Bennet, J.H. Hollerbach

- Identifying both the manipulator kinematics and the task geometry = identifying the associated closed kinematic chain
- Using only joint angle readings and self motions without endpoint sensing
- Consistency conditions
- General Parameter identifiability conditions

## 1 Introduction

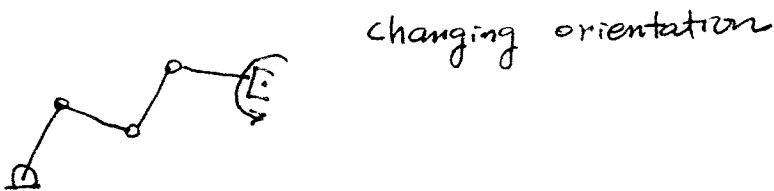
- Extends open-loop kinematic calibration methods to include the identification of the geometry (kinematics) of a task
- a door with a handle : two dof passive manipulator
- In order to identify environment, it must be moved
- manipulator  $\neq$  interacting with an environment generally forms a single loop closed kinematic chain
  - ↳ 3 position and 3 orientation Egs.
- ~~Spatial~~ Spatial Closed-Chain Egs. 6개 이 E2W  
unsensed passive dof 가 5개까지는 Closed-Chain 이 움직일 수  
있음 E2W 5 dof task kinematics 은 identify 할 수 있다.

## • Closed single-loop Kinematic Calibration

### Summary

- ① the environment kinematics must be moved to be identified
- ② joint angle readings are enough requirements
- ③ identify both manipulator kinematics and environment kinematics

### Specific Example



- manipulator kinematics + hinge의 position & Orientation을 결정해야 한다.
- Kinematic loop closure equation을 푸는 것은 problematic한 경우가 발생하므로 Jacobian의 Column을 조사하여 어떤 parameters가 identifiable 한 지를 결정

~~이 방법론~~

### Historical Perspective

- 이 방법은 class of iterative open-loop kinematic calibration techniques
- Mechanism Synthesis et al. 1982

↳ 1 sensor로 전체 Kinematics를 identification

2014 한 algorithm  
6개 joint sensor  
쓰기

## 2. Kinematic Model

### 2.1 Coordinate Convention

- DH Parameter (Paul's way)

$$A_j = \text{Rot}(z, \theta'_j) \text{Trans}(z, s_j) \text{Trans}(x, a_j) \text{Rot}(x, \alpha_j)$$

$$T_c = \underline{A_0} A_1 \cdots A_6$$

base coord. to 1st coordinate (fixed transformation)

~~Kinematic~~ geometric parameters ( $s_j, a_j, \alpha_j$ )

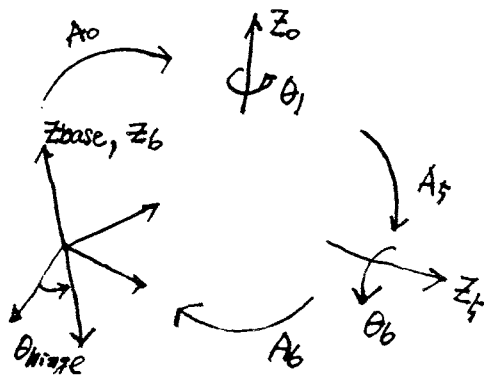
Nongeometric parameters relating the  $\theta'_j$  to the joint angle measurements : Assumes that the only joint angle error is the offset  $\theta_j^{\text{off}} \rightarrow \theta'_j = \theta_j + \theta_j^{\text{off}}$

### 2.2 Task Geometry

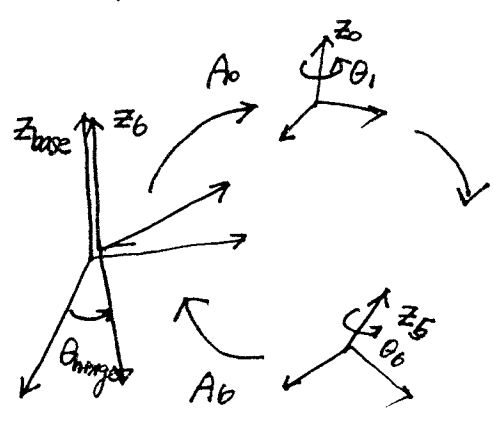
End point z axis를 도어의 힌지 axis와 일치시킨다.

base coord.의 z axis를 도어의 힌지 axis와 일치시킨다.

최종적으로 end point origin과 base frame origin을 동일점으로 재의 한다.



## 2.3 Closed loop Model



$$T_c = A_0 A_1 \cdots A_6 = \begin{bmatrix} R_c & d_c \\ 0 & 0 & 0 & 1 \end{bmatrix}$$

Model Parameter의 오차가 없다면

$$R_c = \begin{bmatrix} \cos(\theta_{hinge}) & -\sin(\theta_{hinge}) & 0 \\ \sin(\theta_{hinge}) & \cos(\theta_{hinge}) & 0 \\ 0 & 0 & 1 \end{bmatrix}$$

$$d_c = [0 \ 0 \ 0]^T$$

그러나, ~~불~~ Model Parameter의 오차가 발생하여  $T_{base} \rightarrow T_c$ 는 위의 식과 다르게 된다.

Infinitesimal displacement  $d_c = [dx_c \ dy_c \ dz_c]^T$

$$R_c = \begin{bmatrix} 1 & 0 & 0 \\ 0 & 1 & -\partial x_c \\ 0 & \partial x_c & 1 \end{bmatrix} \begin{bmatrix} 1 & 0 & \partial y_c \\ 0 & 1 & 0 \\ -\partial y_c & 0 & 1 \end{bmatrix} \begin{bmatrix} \cos(\theta_z) & -\sin(\theta_z) & 0 \\ \sin(\theta_z) & \cos(\theta_z) & 0 \\ 0 & 0 & 1 \end{bmatrix}$$

$\partial x_c, \partial y_c$  are infinitesimal,  $\theta_z$  is finite

$$\begin{aligned} R_c &= \begin{bmatrix} 1 & 0 & \partial y_c \\ 0 & 1 & -\partial x_c \\ -\partial y_c & \partial x_c & 1 \end{bmatrix} \begin{bmatrix} \cos(\theta_z) & -\sin(\theta_z) & 0 \\ \sin(\theta_z) & \cos(\theta_z) & 0 \\ 0 & 0 & 1 \end{bmatrix} \\ &= \begin{bmatrix} \cos(\theta_z) & -\sin(\theta_z) & \partial y_c \\ \sin(\theta_z) & \cos(\theta_z) & -\partial x_c \\ -\partial y_c \cos(\theta_z) + \partial x_c \sin(\theta_z) & \partial y_c \sin(\theta_z) + \partial x_c \cos(\theta_z) & 1 \end{bmatrix} \end{aligned}$$

앞에서

$$\theta_z = \text{atan}([R_c]_{2,1}/[R_c]_{1,1})$$

$\partial x_c$ 와  $\partial y_c$ 를 구하기 위하여

$$\begin{bmatrix} 1 & 0 & \partial y_c \\ 0 & 1 & -\partial x_c \\ -\partial y_c & \partial x_c & 1 \end{bmatrix} = \underline{R_c} \begin{bmatrix} \cos(\theta_z) & \sin(\theta_z) & 0 \\ -\sin(\theta_z) & \cos(\theta_z) & 0 \\ 0 & 0 & 1 \end{bmatrix}$$

Thus, the modeled end point location at  $i$ th joint configuration  $\underline{\theta}^i$

$$\underline{x}_c^i = (dx_c, dy_c, dz_c, \partial x_c, \partial y_c)^T$$

and the five kinematic loop closure Eqs.

$$0 = \underline{x}_c^i(\underline{\theta}^i + \underline{\theta}_{\text{off}}, \underline{s}, \underline{a}, \underline{d}) + \underbrace{\underline{n}^i}_{\text{modeling and measurement noise}} \quad -①$$

Unknown parameters to be identified

$$\underline{\varphi} = (\underline{\theta}_{\text{off}}^T, \underline{s}^T, \underline{a}^T, \underline{d}^T)$$

## 2.4 Differential Kinematics

Eq. ① is non-linear  $\rightarrow$  needs to be linearized  
about a nominal guess at the parameters  $\underline{\varphi}^0$

$\theta_z$ 를 포함시켜서 full six vector of position and orientation

$$\underline{x}_c^i = (dx_c, dy_c, dz_c, \partial x_c, \partial y_c, \theta_z)^T$$

$$\Delta \underline{x}_c^i = \frac{\partial \underline{x}_c^i}{\partial \underline{\theta}} \Delta \underline{\theta} + \frac{\partial \underline{x}_c^i}{\partial \underline{s}} \Delta \underline{s} + \frac{\partial \underline{x}_c^i}{\partial \underline{a}} \Delta \underline{a} + \frac{\partial \underline{x}_c^i}{\partial \underline{d}} \Delta \underline{d} + \underline{n}^i$$

⑥

$$\Delta \underline{x}^i = (0, 0, 0, 0, 0, \text{unknown}) - \underline{x}_c^i$$

$$\Delta S = S - S^0, \quad \Delta \varphi = \varphi - \varphi^0$$

$$C^i = \frac{\partial \underline{x}_c^i}{\partial \varphi} = \begin{bmatrix} \frac{\partial x_c^i}{\partial \theta} & \frac{\partial x_c^i}{\partial \alpha} & \frac{\partial x_c^i}{\partial \beta} & \frac{\partial x_c^i}{\partial \gamma} \end{bmatrix}$$

$$\Delta x^i = C^i \Delta \varphi + n'^i \leftarrow \text{6711 eqs.}$$

$\theta$ 를 제외하면

$$\Delta \underline{x}^i = (0, 0, 0, 0, 0) - \underline{x}_c^i$$

$$\underline{\Delta x^i} = C^i \Delta \varphi + n'^i$$

### 2.4.1 Jacobian Calculation

No Problem!

## 3. Iterative Parameter Identification

### 3.1 Data Collection

A series of  $m$  configurations of the actual mechanism

$\Rightarrow$   $m$  set of joint angle measurements  $\underline{\theta}^i$

$$\Delta \underline{x} = C \Delta \varphi + n'$$

where

$$\underline{\Delta x} = C \Delta \varphi$$

$$C = \begin{bmatrix} C^1 \\ \vdots \\ C^m \end{bmatrix}, \quad \Delta \underline{x} = \begin{bmatrix} \Delta x^1 \\ \vdots \\ \Delta x^m \end{bmatrix}$$

### 3.2 Minimization

①

$$\min E^v = (\Delta X - C \Delta y)^T (\Delta X - C \Delta y) \quad : \text{least squares method}$$

$$\Delta y = (C^T C)^{-1} C^T \Delta x \quad -①$$

$$y_{i+1} = y_i + \Delta y \quad -②$$

①②를 Iteratively 적용하면, quadratic convergence를 얻을 수 있다. 단  $C^T C$ 가 적용시 ~~iter~~ invertible 하여야 한다.

### 4. Identifiability

mechanism의 움직임을 통하여 얻어진 Data에 대하여 uniquely 결정하지 못하는 parameter들이 있을 수 있다.

$\text{rank}(C)$ 가 full rank가 아니면  $C$ 의 Column들 사이에

linear dependence가 있고 따라서  $C^T C$ 는 singular 하게 된다.

이와 같은 경우가 계산 중에 ~~rank~~ parameter에 의하여

발생할 수도 있고 실제 parameter에 의해서도 발생할 수

있다. 실제 parameter에서 발생된다면 그 parameter들은

unidentifiable 하다.

mechanism에서 하나 이상의 parameter가 unidentifiable하면

그 mechanism은 unidentifiable 하다고 한다.

(8)

Necessary and Sufficient Cond. for columns of  $\bar{C}$  to be independent

$$\sum_{j=0}^6 K_j \ddot{x}_j + G_j \ddot{z}_j = 0 \quad \text{for } \forall i \in [1 \dots m] \Rightarrow K_j = G_j = 0$$

- (19)

~~위 조건에서~~ S:

위 조건을 위반하면  $C$ 의 Column들은 linearly dependent

하지만 위 조건만을 가지고는 length parameter에 의한 것인지

Angle parameter에 의한 것인지 판별하기 어렵다.

위 조건을 위반하는 각 경우에 대하여 살펴보자

각 경우에서 ~~expressively~~ ~~expressively~~ 표현하지 구체적으로 언급하지 않는다 하여도 실제로는 near singular situation 이 발생한다.

(1) Parameters that enter linearly

Kinematic closure eg.

$$\sum_j S_j \ddot{x}_{j1} + a_j \ddot{x}_j = 0 \quad - (20)$$

Eg. (20) 은 Eg. (19)를 위반, linear dependence of the length parameter

당연한 결과, angle이 의해서 결정된 geometry는 arbitrarily scaled

해결 방법은 하나의 nonzero link length를 1로 놓고 다른 link length들은 이것에 근거하여 결정함



## (2) Immobility

- Joint  $i$  가 Immobile 하다면, two consecutive joint coordinates are fixed relative to one another. 이것은  $z_i, z_{i+1}, x_{i+1}, z_{i+1}$  이 constant linear relation을 갖게 된다. 따라서 관계된 link들의 parameter 들은 unidentifiable.

이 경우, 가상 link를 정의함으로써, 전체 mechanism은 identifiable

- the problem of immobile joint에 적절히 대처하기 위해서는 immobility가 발생하는 ~~condition~~ 경우를 예측하여야 한다.  
→ immobility cond.

## (3) Inherent Singularities in the mechanism

Joint 당 4개의 parameter로 정의할 필요없이 더 적은 수로 정의할 때 일반적인 general rule를 적용하기 까다롭다.

예를 들면 four bar linkage가 평행사변형을 형성한다면

$$x_1 + x_3 = 0 \quad A(19) \text{ 위반 } a_1, a_3 \text{ 는 unidentifiable}$$

다만,  ~~$a_1 + a_3$~~  그것의 Sum은 identifiable

#### (4) Singularities related to the coordinate description

As a result of a poor choice of coordinate description,

Mechanism 내에 arbitrary parameter를 발생

예를 들면, Parallel axes  $z_i - z_{i-1} = 0$

(19) 위반,  $S_i$  와  $S_{i+1}$ 를 각각 identify 할 수 없다.

~~따라서~~,  $S_{i+1} - S_i$ 는 알아 낼 수 있다.  
하지만

이 경우는 해결하기 위하여 Hagati's Modified DH parameters

#### (5) Not sufficient excitation

어떤 관절이 전혀 움직이지 않았다면 그 관절에 대한 정보를 구할 수 없다. Category 2 처럼 immobile 조우가 된다.

관심 사항은 어떤 Data Set 이 가장 ~~좋은~~ 효과적인 일까?  
→ Identification Algorithm 에  
Optimal data set depends on the geometry of mechanism.  
Simulation study 가 적절 → 참고: Brian Paper (4/3)

#### (6) Transient singularities

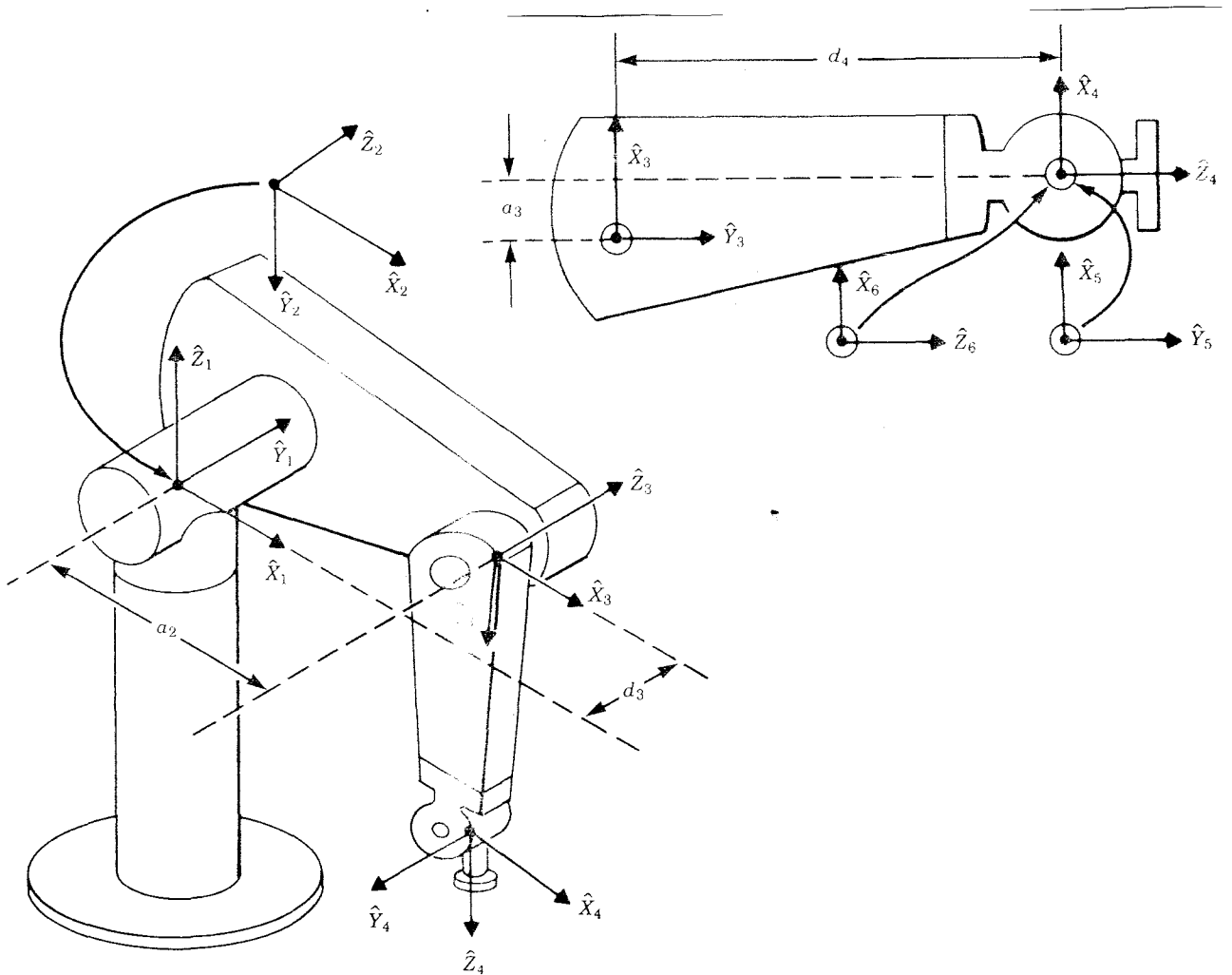
$$LM = E^2 + \lambda \Delta \varphi^T \Delta \varphi \quad \leftarrow E^2$$

$$\therefore \Delta \varphi = (C^T C + \lambda I)^{-1} C^T \Delta x$$

Levenberg Marquardt algorithm

$\lambda$  의 선택 (Kelman paper)

# PUMA560 manipulator



Link parameters of the PUMA560

$i$	$\alpha_{i-1}$	$a_{i-1}$	$d_i$	$\theta_i$
1	0	0	0	$\theta_1$
2	$-90^\circ$	0	0	$\theta_2$
3	0	0.4318	0.0203	$\theta_3$
4	$-90^\circ$	0.1254	0.4318	$\theta_4$
5	$90^\circ$	0	0	$\theta_5$
6	$-90^\circ$	0	0	$\theta_6$

## 두개의 Point를 이용한 calibration

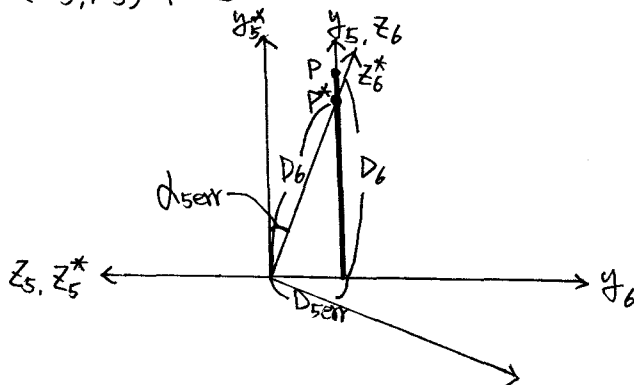
변수	RANK	상태	비고
A0	0	×	제외
A1	1	○	
A2	2	○	
A3	3	○	
A4	4	○	
A5	5	○	
D1	5	×	제외
D2	6	○	
D3	6	◎	제외
D4	7	○	
D5	8	○	
D6	9	◎	
$\alpha 0$	10	×	제외
$\alpha 1$	10	○	
$\alpha 2$	11	○	
$\alpha 3$	12	○	
$\alpha 4$	13	○	
$\alpha 5$	14	●	제외
$\theta 1$	14	×	
$\theta 2$	15	○	
$\theta 3$	16	×	제외
$\theta 4$	16	×	제외
$\theta 5$	16	●	
$\theta 6$	16	×	

○ : calibration가능    ● : 완전히 calibration되지 않는 경우

× : calibration불가    ◎ : 어떤 두개의 parameter가 일정한 비율로 변하는 경우

- \* 두개의 점에 대하여 각각 16개의 angle set을 구함
- \* A0, D1,  $\alpha 0$ ,  $\theta 1$ 은 기본적으로 calibration불가
- \*  $\theta 3$ ,  $\theta 4$ 는 angle set의 부족으로 인하여 calibration불가
- \* D2, D3는 두개의 합이 일정
- \* D6는 0.1로 고정
- \*  $\theta 6$ 가 변하여도 다른 parameter에 영향을 주지 못함

\*  $(X_5, D_5)$ ,  $(\theta_5, A_5)$ 의 관계는 아래의 그림과 같이 되어진다.



$$P = (0, 0, D_6), P^* = (0, 0, D_6 \cdot \cos(\alpha_{serr})) \Rightarrow \text{Base에 대한 좌표}$$

$$D_{serr} = D_6 \cdot \sin(\alpha_{serr})$$

이때  $\alpha_{serr}$ 가 작은 값이되면  $P = P^*$ 가 된다.

# 1 Point( 0.6 -0.4 0.3 )에 대한 calibration

변수	상태	Rank	비고
A0	×	0	제외
A1	○	1	
A2	○	2	
A3	○	3	
A4	○	4	
A5	○	5	
D1	×	5	제외
D2	○	6	
D3	◎	6	D2와 D3의 합이 일정 : 제외
D4	○	7	
D5	○	8	
D6	◎	9	D6변화 : 다른 값이 비율적으로 변화 : 제외
$\alpha 0$	×	9	제외
$\alpha 1$	○	9	
$\alpha 2$	○	10	
$\alpha 3$	○	11	
$\alpha 4$	○	12	
$\alpha 5$	●	13	D5에 영향을 줌(수렴) : 제외
$\theta 1$	×	13	0이 아닌 다른값
$\theta 2$	○	14	
$\theta 3$	○	15	
$\theta 4$	○	16	
$\theta 5$	●	17→16	A5에 영향을 줌
$\theta 6$	×	17→16	

\* 한점에 대하여 32개의 angle set을 구함

\* D6는 0.1로 고정

1 Point( 0.6 -0.4 0.3 )에 대한 길이가 다른 두막대(0.1, 0.07)

변수	상태	Rank	비고
A0	×	0	제외
A1	○	1	
A2	○	2	
A3	○	3	
A4	○	4	
A5	○	5	
D1	×	5	제외
D2	○	6	
D3	◎	6	D2와 D3의 합이 일정 : 제외
D4	○	7	
D5	○	8	
D6	○	9	
$\alpha 0$	×	10	제외
$\alpha 1$	○	10	
$\alpha 2$	○	11	
$\alpha 3$	○	12	
$\alpha 4$	○	13	
$\alpha 5$	○	14	
$\theta 1$	×	15	제외
$\theta 2$	○	15	
$\theta 3$	○	16	
$\theta 4$	○	17	
$\theta 5$	○	18	
$\theta 6$	×	18	

\* 길이가 다른 두막대에 대하여 각각 32개의 angle set을 구함

\* 두막대의 길이를 알고 있어야함

# Closed Loop

변수	상태	Rank	비고
A0	○	1	
A1	○	2	
A2	○	3	
A3	○	4	
A4	○	5	
A5	○	6	
A6	○	7	
D1	○	8	
D2	○	9	
D3	◎	9	D2와 D3의 합이 일정 : 제외
D4	○	10	
D5	○	11	
D6	◎	11	제외
D7	◎	11	제외
$\alpha 0$	○	12	
$\alpha 1$	○	13	
$\alpha 2$	○	14	
$\alpha 3$	○	15	
$\alpha 4$	○	16	
$\alpha 5$	○	17	
$\alpha 6$	○	18	
$\theta 1$	○	19	
$\theta 2$	○	20	
$\theta 3$	○	21	
$\theta 4$	○	22	
$\theta 5$	○	23	
$\theta 6$	○	24	
$\theta 7$	#		계산에 의해서 구해짐

- \* door hinge축과 base의 Z축을 일치 시켜야 한다.
- \*  $\theta 7$ 은 계산에 의해서 구해지는 값이고 D7은 불필요한 data이다.
- \* A2, A3, D3, D4, D6중 하나는 값을 알고 있어야 한다.
- \* 여기서는 D6의 값을 0.1로 설정